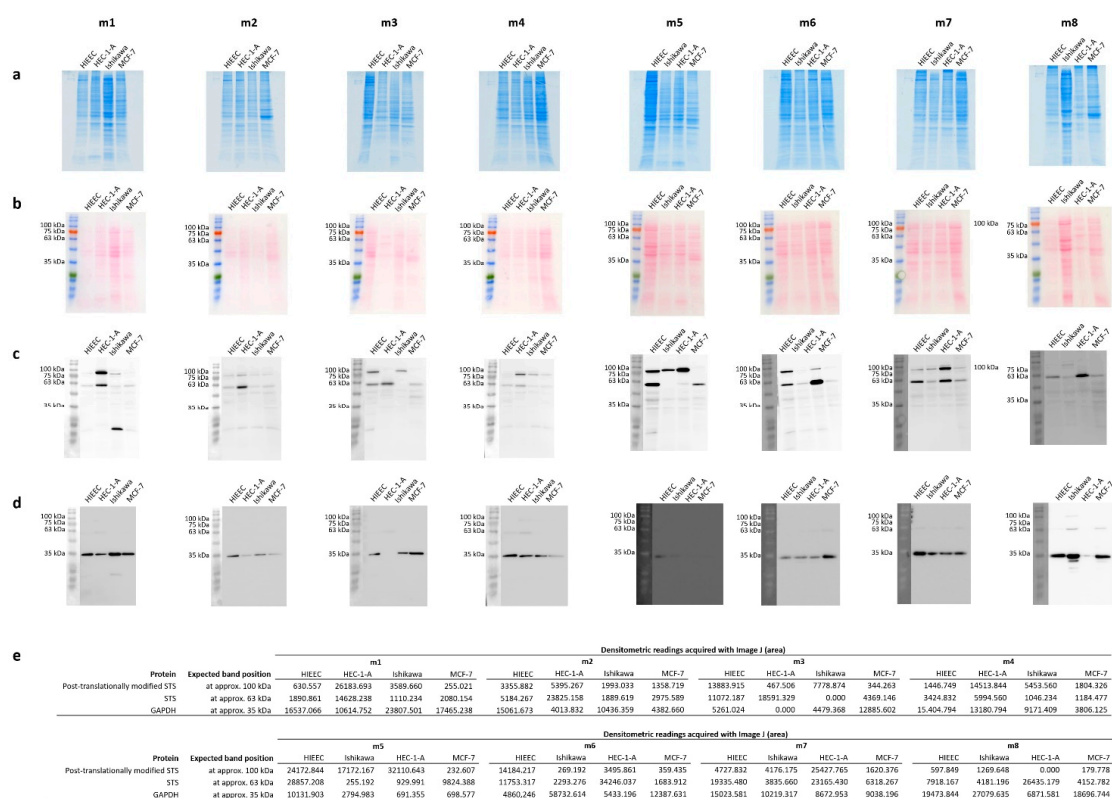
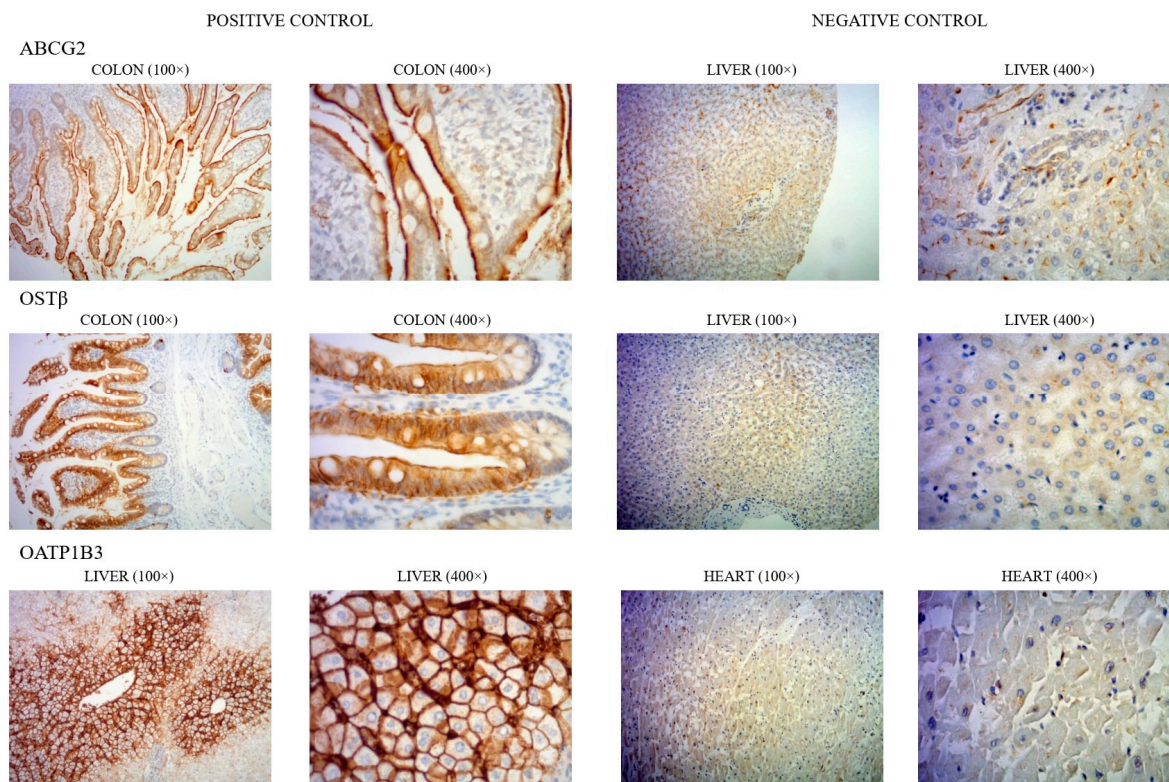


# Supplementary Materials: Altered Profile of E1-S Transporters in Endometrial Cancer: Lower Protein Levels of ABCG2 and OST $\beta$ and Up-Regulation of *SLCO1B3* Expression

Renata Pavlič, Suzana Vidic, Maja Anko, Tamara Knific, Tomaž Büdefeld, Kristina Marton, Maša Sinreih, Stefan Poschner, Walter Jäger, Snježana Frković-Grazio and Tea Lanišnik Rižner



**Figure S1.** Uncropped gels and blots in Western blot detection of STS and GAPDH. a) Gels after staining with Coomassie brilliant blue, b) full-length membranes after staining with Ponceau S, c) full-length membranes after chemiluminescent detection of STS, d) full-length membranes after chemiluminescent detection of GAPDH, e) densitometric readings for quantification acquired with programme Image J. Membrane 7 (m7) was chosen as representative membrane of STS levels in investigated cell lines.



**Figure S2.** Positive and negative controls for anti-ABCG2, anti-OST $\beta$ , and anti-OATP1B3 antibodies, used in immunohistochemical staining.

**Table S1.** Technical conditions for immunohistochemical staining.

Primary antibody	Pre-treatment	Pre-treatment (min)	Primary antibody dilution	Primary antibody incubation (min)	Antibody diluent	Primary antibody incubation temperature (°C)	Detection kit	Thickness
ABCG2	CC1	48	1:50	60	TTBS	37	OptiView	4 $\mu$ m
OST $\beta$	CC1	48	1:100	60	TTBS	37	OptiView	4 $\mu$ m
OATP1B3	CC1	72	1:50	120	TBS	37	OptiView	4 $\mu$ m

IHC was performed on the Ventana BenchMark ULTRA platform. CC1 – Cell Conditioning Solution 1 (Tris-based buffer, pH 8.5), TBS – Tris-Buffered Saline, TTBS – Tween-Tris-Buffered Saline.

**Table S2.** Normalized expression of evaluated genes in model cell lines and tissue samples evaluated using qPCR.

gene	HIEEC		Ishikawa		HEC-1-A		Normal tissue		Tumor tissue	
	mean	SD	mean	SD	mean	SD	mean	SD	mean	SD
<i>ABCC1</i>	212347.91	120167.83	793260.86	871703.41	287172.96	185450.98	171007.00	105071.00	268428.00	239633.00
<i>ABCC4</i>	17563.24	7331.72	93064.76	106863.99	252419.40	231728.27	64531.10	74076.40	59001.10	47012.40
<i>ABCG2</i>	41691.98	15412.68	26622.47	25065.35	1329.01	1271.83	905358.00	779787.00	299870.00	780028.00
<i>SLC10A6</i>	524.56	137.10	4287.98	4711.50	3841.04	3018.53	20421.20	20447.50	32124.90	110341.00
<i>SLC22A11</i>	106.17	70.20	135.98	85.85	976.17	954.03	11375.70	9168.96	7678.84	7745.00
<i>SLC51A</i>	14797.83	8470.23	207015.19	295527.05	92745.15	99959.00	44121.50	44178.70	59825.20	55194.40
<i>SLC51B</i>	1439.37	536.86	61868.48	96982.06	9572.80	11705.51	180466.00	134256.00	85590.40	107595.00
<i>SLCO1A2</i>	338.55	202.35	11891.72	20194.06	107.75	135.02	6724.91	16820.90	24512.90	87127.70
<i>SLCO1B1</i>	10.82	6.81	397.36	298.16	6500.27	7250.01	88513.40	205123.00	85141.20	179207.00
<i>SLCO1B3</i>	410.02	394.39	13556.37	22706.14	8212224.39	7316381.75	353300.00	751143.00	3020220.00	13262300.00
<i>SLCO1C1</i>	32.90	20.13	1777.63	3210.93	683.96	1307.26	3509.41	2818.91	3803.15	4128.28
<i>SLCO2B1</i>	1407.00	389.01	1010.77	1238.63	142565.28	100526.24	392533.00	285953.00	358978.00	486884.00
<i>SLCO3A1</i>	925.72	815.48	49.26	85.39	278.00	220.62	9883.77	14303.70	8493.11	16459.40
<i>SLCO4A1</i>	8896.66	5529.25	11596.36	12879.74	346579.01	249855.69	281831.00	366875.00	286660.00	516142.00
<i>SLCO4C1</i>	3466.15	852.02	408303.85	354990.02	852.59	971.24	14510.30	15098.10	26496.60	50860.70



HEC-1-A 500nM DHEA	335.670 nM	6016.566 fmol/Mio/h	59.537 fmol/Mio/h	n.c.	n.c.	n.c.	n.c.	n.c.	n.c.	n.c.	n.c.
HEC-1-A 500nM DHEA	299.632 nM	3502.040 fmol/Mio/h	31.928 fmol/Mio/h	n.c.	n.c.	n.c.	n.c.	n.c.	n.c.	n.c.	n.c.
HEC-1-A 1000nM DHEA	480.195 nM	4816.805 fmol/Mio/h	66.456 fmol/Mio/h	n.c.	n.c.	0.707 fmol/Mio/h	n.c.	0.673 fmol/Mio/h	n.c.	n.c.	n.c.
HEC-1-A 1000nM DHEA	527.306 nM	5063.847 fmol/Mio/h	58.499 fmol/Mio/h	n.c.	n.c.	n.c.	n.c.	0.966 fmol/Mio/h	n.c.	n.c.	n.c.
HEC-1-A 10nM E1	n.c.	n.c.	n.c.	n.c.	7.083 nM	8.081 fmol/Mio/h	23.469 fmol/Mio/h	1.398 fmol/Mio/h	n.c.	n.c.	n.c.
HEC-1-A 10nM E1	n.c.	n.c.	n.c.	n.c.	6.789 nM	8.859 fmol/Mio/h	31.603 fmol/Mio/h	1.538 fmol/Mio/h	n.c.	n.c.	n.c.
HEC-1-A 100nM E1	n.c.	n.c.	n.c.	n.c.	70.124 nM	25.407 fmol/Mio/h	259.761 fmol/Mio/h	12.216 fmol/Mio/h	n.c.	n.c.	n.c.
HEC-1-A 100nM E1	n.c.	n.c.	n.c.	n.c.	71.304 nM	34.643 fmol/Mio/h	304.473 fmol/Mio/h	15.599 fmol/Mio/h	n.c.	n.c.	n.c.
HEC-1-A 500nM E1	n.c.	n.c.	n.c.	n.c.	355.688 nM	168.685 fmol/Mio/h	1348.447 fmol/Mio/h	77.748 fmol/Mio/h	n.c.	n.c.	n.c.
HEC-1-A 500nM E1	n.c.	n.c.	n.c.	n.c.	321.471 nM	205.188 fmol/Mio/h	2076.345 fmol/Mio/h	109.444 fmol/Mio/h	n.c.	n.c.	n.c.
HEC-1-A 1000nM E1	n.c.	n.c.	n.c.	n.c.	648.344 nM	313.068 fmol/Mio/h	3438.205 fmol/Mio/h	192.607 fmol/Mio/h	n.c.	n.c.	n.c.
HEC-1-A 1000nM E1	n.c.	n.c.	n.c.	n.c.	645.325 nM	388.869 fmol/Mio/h	4096.289 fmol/Mio/h	227.757 fmol/Mio/h	n.c.	n.c.	n.c.
HEC-1-A control	n.c.	n.c.	n.c.	n.c.	n.c.	n.c.	n.c.	n.c.	n.c.	n.c.	n.c.
HEC-1-A control	n.c.	n.c.	n.c.	n.c.	n.c.	n.c.	n.c.	n.c.	n.c.	n.c.	n.c.
HEC-1-A 10nM DHEA-S	n.c.	8.146 nM	n.c.	n.c.	n.c.	n.c.	n.c.	n.c.	n.c.	n.c.	n.c.
HEC-1-A 10nM DHEA-S	n.c.	7.921 nM	n.c.	n.c.	n.c.	n.c.	n.c.	n.c.	n.c.	n.c.	n.c.
HEC-1-A 100nM DHEA-S	n.c.	89.308 nM	n.c.	n.c.	n.c.	n.c.	n.c.	n.c.	n.c.	n.c.	n.c.
HEC-1-A 100nM DHEA-S	n.c.	86.140 nM	n.c.	n.c.	n.c.	n.c.	n.c.	n.c.	n.c.	n.c.	n.c.
HEC-1-A 500nM DHEA-S	n.c.	449.489 nM	n.c.	n.c.	n.c.	n.c.	n.c.	n.c.	n.c.	n.c.	n.c.
HEC-1-A 500nM DHEA-S	n.c.	432.201 nM	n.c.	n.c.	n.c.	n.c.	n.c.	n.c.	n.c.	n.c.	n.c.
HEC-1-A 1000nM DHEA-S	793.913 fmol/Mio/h	673.400 nM	n.c.	n.c.	n.c.	n.c.	n.c.	n.c.	n.c.	n.c.	n.c.
HEC-1-A 1000nM DHEA-S	1302.654 fmol/Mio/h	607.171 nM	n.c.	n.c.	n.c.	n.c.	n.c.	n.c.	n.c.	n.c.	n.c.
HEC-1-A 10nM E1-S	n.c.	n.c.	n.c.	n.c.	31.455 fmol/Mio/h	5.997 nM	n.c.	0.592 fmol/Mio/h	n.c.	n.c.	n.c.
HEC-1-A 10nM E1-S	n.c.	n.c.	n.c.	n.c.	38.320 fmol/Mio/h	7.783 nM	n.c.	0.771 fmol/Mio/h	n.c.	n.c.	n.c.
HEC-1-A 100nM E1-S	n.c.	n.c.	n.c.	n.c.	345.704 fmol/Mio/h	64.799 nM	53.507 fmol/Mio/h	4.569 fmol/Mio/h	n.c.	n.c.	n.c.
HEC-1-A 100nM E1-S	n.c.	n.c.	n.c.	n.c.	300.360 fmol/Mio/h	65.131 nM	45.295 fmol/Mio/h	4.082 fmol/Mio/h	n.c.	n.c.	n.c.
HEC-1-A 500nM E1-S	n.c.	n.c.	n.c.	n.c.	1757.155 fmol/Mio/h	323.986 nM	252.669 fmol/Mio/h	20.533 fmol/Mio/h	n.c.	n.c.	n.c.
HEC-1-A 500nM E1-S	n.c.	n.c.	n.c.	n.c.	1855.583 fmol/Mio/h	419.430 nM	257.309 fmol/Mio/h	43.819 fmol/Mio/h	n.c.	n.c.	n.c.
HEC-1-A 1000nM E1-S	n.c.	n.c.	n.c.	n.c.	12910.448 fmol/Mio/h	388.136 nM	2100.170 fmol/Mio/h	74.554 fmol/Mio/h	n.c.	n.c.	n.c.

n.c. – not calculable due to levels below the limit of detection or below the limit of quantification.

**Table S4.** Results of immunohistochemistry presented as scores.

Tissue sample	IHC scores					
	ABCG2 control	ABCG2 tumor	OST $\beta$ control	OST $\beta$ tumor	OATP1B3 control	OATP1B3 tumor
2	NA	100	NA	60	NA	45
3	100	100	100	90	135	90
6	NA	90	NA	80	NA	135
7	NA	100	NA	20	NA	NA
9	100	100	150	75	180	225
10	100	100	100	95	135	180
11	NA	100	NA	130	NA	158
14	NA	100	NA	70	NA	180
15	NA	100	NA	8	NA	135
16	NA	100	NA	98	NA	135
18	NA	90	NA	8	NA	45
19	100	70	100	20	135	60
20	NA	60	NA	50	NA	43
21	NA	100	NA	85	NA	180
22	100	NA	100	NA	135	NA
23	NA	78	NA	48	NA	88
24	NA	90	NA	14	NA	53
25	100	50	100	60	180	135
26	100	100	100	23	135	90
30	NA	90	NA	0	NA	40
31	NA	85	NA	55	NA	113
33	NA	100	NA	88	NA	180
34	NA	100	NA	65	NA	40
35	100	100	100	85	135	50
38	100	98	100	30	180	180
39	NA	100	NA	98	NA	40
40	NA	100	NA	95	NA	135
44	100	NA	100	NA	180	NA
46	100	45	100	80	135	135
47	100	95	98	80	113	103
48	NA	100	NA	120	NA	135
49	100	35	100	90	135	90
50	NA	90	NA	80	NA	90
51	NA	70	NA	40	NA	160
52	NA	83	NA	82	NA	68
53	100	NA	100	NA	180	NA
54	100	55	100	35	158	33
55	NA	21	NA	7	NA	88
56	100	50	100	80	135	90
57	100	100	100	90	68	90
58	100	NA	100	NA	158	NA
60	100	NA	100	NA	135	NA
61	100	15	100	20	135	10
62	100	100	100	100	158	135
63	100	98	100	80	135	10
64	100	75	100	70	135	30
65	100	NA	100	NA	113	NA
66	NA	90	NA	80	NA	90
68	NA	100	NA	90	NA	90
69	NA	80	NA	80	NA	30
70	100	75	100	0	135	180
71	100	85	100	13	180	180

NA – data not available.